

سُبْحَانَ رَبِّ الْعَالَمِينَ



دانشگاه آزاد اسلامی

واحد شاهرود

دانشکده علوم پایه

پایان نامه برای دریافت درجه کارشناسی ارشد « M.Sc. »
گرایش : مهندسی شیمی « پلیمر »

عنوان :

ساخت و ارزیابی خواص نانو کامپوزیت پلی آمید ۶ / پلی پروپیلن / نانو لوله کربنی و دوده

استاد راهنمای :

دکتر محمود نیکخوا امیری

استاد مشاور :

دکتر صاحبعلی منافی

نگارش :

امیررضا بهاری نعمت آباد

مهرماه ۱۳۹۲



ISLAMIC AZAD UNIVERSITY

Shahrood Branch

Faculty of Science- Department of Chemical engineering

((M.Sc.)) Thesis

On Polymer

Subject:

Construction and Characterization of Nano-composite PA 6

/ polypropylene / carbon nanotube and carbon black

Thesis Advisor:

Mr. Mahmood Nikkho Amiri Ph.D.

Consulting Advisor:

Mr. Saheb Ali Manafi Ph.D.

By:

Amir reza bahari nemat abad

October 2013

Volume One

سپاسگزاری:

خداوند را سپاسگزارم که مرا در طول عمر و به خصوص در دوران تحصیل یاری نمود تا بتوانم
گام‌های زندگی را هرچه راحت‌تر بپیمایم.

همچنین از تمامی استادی‌دید محترم دانشگاه که بندۀ را در طول دوران تحصیل یاری نمودند، به خصوص
استاد گرانقدر جناب آقای دکتر محمود نیکخواه‌میری نهایت تشکر را دارم.

تقدیم به:

پدرو مادر بزرگوارم

نه میتوانم موهایشان را که در راه عزت سفید شده سیاه کم و نه برای دستهای پینه بسته شان که ثمره
تلاش برای افتخار من است، مر همی دارم. پس امید که بتوانم هر لحظه شکر گزارشان باشم و ثانیه
های عمرم را در عصای دست بودنشان بگذرانم

همسرم

که همواره در طول تحصیل متحمل زحماتم بود و تکیه گاه من در مواجه با مشکلات و وجودش مایه
دلگرمی من میباشد

خواهرم

که وجود شادی بخش و صفائش مایه آرامش من است

فهرست مطالب

صفحه	عنوان
۱	چکیده
۲	مقدمه
۴	فصل ۱: پرکننده ها
۵	۱-۱- نانو لوله های کربنی
۶	۱-۲- تاریخچه
۶	۱-۲-۱- انواع نانو لوله های کربنی
۷	۱-۲-۲- خصوصیات فیزیک و شیمیایی نانو لوله های کربنی
۷	۱-۲-۲-۱- خواص الکتریکی
۸	۱-۲-۲-۲- خواص نوری
۸	۱-۲-۲-۳- خواص مکانیکی
۸	۱-۲-۴- هدایت حرارتی
۹	۱-۳-۲- کاربرد نانولوله های کربنی
۱۰	۱-۴- روش های تولید
۱۰	۱-۳- دوده
۱۱	۱-۳-۱- معرفی دوده
۱۱	۱-۳-۲- تاریخچه
۱۲	۱-۳-۳- پارامتر های موثر روی خواص دوده
۱۵	۱-۴-۳- بازار جهانی دوده
۱۶	۱-۵-۳- روش های تولید
۱۸	فصل ۲: پلیپروپیلن و پلیآمید
۱۹	۲-۱- پلیپروپیلن
۱۹	۲-۱-۱- اندازه مولکولی
۱۹	۲-۱-۲- تاکتیسیته زنجیر
۲۰	۲-۱-۳- خواص شیمیایی

۲۱	۴-۱-۲- خواص ترمودینامیکی
۲۱	۵-۱-۲- مزایای پلیپروپیلن
۲۱	۶-۱-۲- معایب پلیپروپیلن
۲۲	۷-۱-۲- انواع اصلی پلیپروپیلن
۲۳	۸-۱-۲- کاربردهای پلیپروپیلن
۲۴	۹-۱-۲- بازار مصرف
۲۴	۱۰-۱-۲- ساختار پلیپروپیلن
۲۵	۱۰-۱-۲- بلورینگی
۲۵	۲-۲- پلیآمید
۲۵	۱-۲-۲- معرفی پلیآمید
۲۶	۲-۲-۲- ویژگی عمومی پلیآمیدها
۲۸	۳-۲- روش‌های فرآیند پلیآمید
۲۸	۱-۳-۲- فرآیند تزریق
۲۹	۲-۳-۲- فرآیند اکستروژن
۲۹	۳-۳-۲- فرآیند ریخته گری
۳۰	فصل ۳: بررسی تحقیقات انجام شده
۳۱	۱-۳- بررسی کامپوزیت‌های پلیپروپیلن / پلیآمید ^۶
۳۷	۲-۳- بررسی نانوکامپوزیت‌های پلیپروپیلن / نانولوله‌های کربنی یا دوده
۴۱	۳-۳- بررسی نانوکامپوزیت‌های پلیآمید ^۶ /نانولوله‌های کربنی
۴۷	۴-۳- بررسی کامپوزیت‌های پلیپروپیلن / پلیآمید ^۶ / پرکننده‌ها
۵۰	۵-۳- پیش‌بینی توزیع پرکننده‌ها در آمیزه PA6/PA66
۵۰	۵-۱-۳- توزیع نانولوله‌های کربنی در آمیزه PA6/PP
۵۲	۵-۲-۳- توزیع ذرات دوده (CB) در آمیزه‌ی PA6/PP :
۵۳	فصل ۴: مواد و تجهیزات
۵۴	۱-۴- مواد استفاده شده در این تحقیق
۵۴	۱-۱-۴- پلیپروپیلن
۵۴	۱-۲-۴- پلیآمید ^۶

۵۵	۱-۳- پلی پروپیلن گرافت شده با مالئیک اندیرید
۵۶	۱-۴- نانولوله‌های کربنی
۵۶	۱-۵- دوده یا کربن بلک
۵۷	۲-۴- تجهیزات
۵۷	۱-۲-۴- مخلوطکن داخلی
۵۸	۲-۲-۴- دستگاه تزریق
۵۹	۲-۳- دستگاه رئومتریک
۵۹	۴-۲-۴- دستگاه میکروسکوپ الکترونی روبشی
۶۱	۲-۵- آزمون DSC
۶۲	۲-۶- آزمون دینامیک-مکانیکی (DMA)
۶۳	۲-۷- آزمون مقاومت الکتریکی
۶۴	۳-۴- روش تهیه نانو کامپوزیت پلی پروپیلن / پلی آمید ^۶ / پرکننده‌ها
۶۶	۴-۴- آماده سازی نمونه‌ها برای آزمون
۶۷	فصل ۵: بررسی نتایج و بحث
۶۸	۱-۵- بررسی خواص مورفولوژیکی
۷۴	۱-۲- نتایج آزمون مقاومت الکتریکی
۷۵	۲-۵- نتایج DSC
۸۴	۳-۵- نتایج گشتاور اختلاط
۸۶	۴-۵- نتایج رئولوژیکی
۹۷	۵-۵- رفتار مکانیکی - دینامیکی حرارتی
۱۰۳	۶- فصل:
۱۰۶	مراجع

فهرست اشکال

صفحه	عنوان
۵	شکل (۱-۱) : برخی ساختار کربن
۷	شکل (۲-۱) : دو ساختار نانولوله‌های کربنی
۱۱	شکل زیرفتار دوده در مقابل پرتو فرابنفش را نشان می‌دهد.
۱۲	شکل (۳-۱) : تصویر چگونگی مقابله دوده با پرتو فرابنفش [۲۷].
۱۳	شکل (۴-۱) : مورفولوژی دوده [۲۸]
۱۴	شکل (۵-۱) : تأثیر سایز و مقدار دوده روی خواص پلیمر [۲۸]
۱۵	شکل (۶-۱) : تصویر دو حالت مختلف پراکندگی دوده [۲۷]
۱۵	شکل (۷-۱) : تصویر TEM از دوده
۱۷	شکل (۸-۱) : شیمی سطح دوده [۲۸]
۲۰	شکل (۱-۲) : تصویر دو ساختار مولکولی زنجیر پلی پروپیلن : ایزوتاکتیک (بالا) و سیندیوتاکتیک (پایین)
۷۰/۳۰/۱۰	شکل ۳-۱-۳ - میکروگراف های SEM برای PP/PA6/PP-G-MA (ج) ۷۰/۳۰/۵ (ب) ۷۰/۳۰/۰ (الف)
۳۲	{۴۳}
۳۴	شکل (۲-۳) : واکنش گروه آمین با پلی پروپیلن گرفت شده با ایندیرید که به اتصال ایمید منجر می‌شود [۴۳]
۳۶	شکل (۳-۳) : مدول ذخیره‌ای در برابر دما برای آمیزه‌های مطالعه شده [۴۵]
۳۹	شکل (۴-۳) : مدل جریان پیشنهاد شده برای کامپوزیت PP/MWCNT با افزوده شدن مقادیر مختلف MWNT در رئومتر Capillary [۴۹]
۳۹	شکل (۵-۳) : اثر مقدار MWCNT روی (a) مدول ذخیره‌ای و (b) ویسکوزیته مختلط مذاب کامپوزیت PP/03/MWCNT
۴۰	شکل (۶-۳) : اثر مقدار MWCNT روی هدایت الکتریکی کامپوزیت‌های PP/MWCNT با یا بدون سازگار کننده [۴۸]
۴۲	شکل (۷-۳) : مقاومت حجمی الکتریکی با وابستگی به سرعت چرخشی برای PA6 با ۵٪ وزنی MWNT [۵۳]
۴۳	شکل (۸-۳) : عکس‌های SEM نانوکامپوزیت PA6/10 WT%CNT در دو سطح بزرگنمایی مختلف [۵۱]
۴۳	شکل (۹-۳) : عکس‌های SEM نانوکامپوزیت PA6/20 WT%CNT در دو سطح بزرگنمایی مختلف [۵۱]
۴۵	شکل (۱۰-۳) : مقادیر هدایت AC کامپوزیت‌های PA6/MWNT با مقادیر مقاومت MWNT و اصلاح کننده [۵۳]
۴۶	شکل (۱۱-۳) : تنش کششی و مدول کششی برای PA6 و نانوکامپوزیت‌های آن به عنوان تابعی از غلظت MWNT [۵۰]
۴۶	شکل (۱۲-۳) : منحنی‌های مدول ذخیره‌ای در برابر دما برای PA6 و کامپوزیت‌های آن به عنوان تابعی از غلظت MWNT [۵۵]
۴۷	شکل (۱۳-۳) : میکروگراف های SEM برای PP/PA6/PP-g-MAH (b)، PP/PA6 (a) برای PP/PA6/PP-g-MAH/functionalized - Tio ₂ (d)، PP/PA6/functionalized - Tio ₂ (c) [۳]

۱۴-۳)	شکل	میگروگراف های FE-SEM کامپوزیت های PA6/PP/MWNTS (a,b)؛
۱۵-۳)	شکل	میگروگراف های SEM یا FE-SEM کامپوزیت های PA6 / PP/ MWNTS (c,d)؛
۱۶-۳)	شکل	منحنی های (الف) Z-W (ب) G-W (ج) G-W برای کامپوزیت ها در C ۰C [۵۶] .
۱۷-۵)	شکل	نحوه آماده سازی نمونه های آزمون الکتریکی.
۱۸-۴)	شکل	تصویر دستگاه تزریق.
۱۹-۴)	شکل	تصویر دستگاه SEM.
۲۰-۴)	شکل	تصویر دستگاه Spatter coater.
۲۱-۴)	شکل	تصویر دستگاه perkin-Elmer.
۲۲-۴)	شکل	نحوه آماده سازی نمونه های آزمون الکتریکی.
۲۳-۴)	شکل	منحنی گشتاور و دما بر حسب زمان.
۲۴-۴)	شکل	تصاویر SEM آلباز PP/PA6 بدون فرایند Etching (خوردگی).
۲۵-۴)	شکل	تصاویر SEM برای آمیزه های PP/PA6 پس از فرایند خوردگی، (الف و ب) :
۲۶-۴)	شکل	بزرگنمایی کم و (ج و د) : بزرگنمایی زیاد.
۲۷-۴)	شکل	عکس های SEM کامپوزیت ۶ PP/PA با phr ۲ نانولوله های کربنی (الف و ج) بزرگنمایی کم و (ب و د) بزرگنمایی زیاد.
۲۸-۴)	شکل	عکس های SEM کامپوزیت ۶ PP/PA با phr ۲ دوده (الف و ج) بزرگنمایی کم و (ب و د) بزرگنمایی زیاد.
۲۹-۴)	شکل	عکس های SEM کامپوزیت ۶ PP/PA/CNT با phr ۴ نانولوله های کربنی.
۳۰-۴)	شکل	عکس های SEM کامپوزیت ۶ PP/PA/CB با مقدار phr ۴ دوده.
۳۱-۴)	شکل	عکس های SEM کامپوزیت ۶ PP/PA6/CNT در مقدار phr ۶ نانولوله های کربنی و بزرگنمایی کم وزیاد.
۳۲-۴)	شکل	عکس SEM کامپوزیت ۶ PP/PA6/CB در مقدار phr ۶ دوده.
۳۳-۴)	شکل	ترموگرام های DSC مربوط به کامپوزیت ها در مرحله گرمادهی مجدد، (الف) نانو کامپوزیت های حاوی CNT (ب) نانو کامپوزیت های حاوی دوده.
۳۴-۴)	شکل	ترموگرام های DSC در مرحله گرمادهی مجدد با بزرگنمایی بیشتر: (الف) نانو کامپوزیت های حاوی CNT (ب) نانو کامپوزیت های حاوی دوده.
۳۵-۴)	شکل	ترموگرام های DSC مربوط به کامپوزیت ها در مرحله سرمایشی (الف)
۳۶-۴)	شکل	نانو کامپوزیت های حاوی CNT (ب) نانو کامپوزیت های حاوی دوده.
۳۷-۴)	شکل	ترموگرام های DSC در مرحله سرمایش با بزرگنمایی بیشتر: (الف) نانو کامپوزیت های حاوی CNT (ب) نانو کامپوزیت های حاوی دوده.
۳۸-۴)	شکل	منحنی های اختلاط برای کامپوزیت های پر شده با نانولوله های کربنی.
۳۹-۴)	شکل	منحنی ای اختلاط برای کامپوزیت های پر شده با دوده.
۴۰-۴)	شکل	مقایسه گشتاور نهایی اختلاط برای نانو ذرات.
۴۱-۴)	شکل	نمودار ویسکوزیته مختلط بر حسب فرکانس برای کامپوزیت های (الف) تقویت شده با نانولوله های کربنی و (ب) تقویت شده با دوده در دمای C ۲۳۵.
۴۲-۴)	شکل	مقایسه ویسکوزیته مختلط کامپوزیت ها بر حسب مقدار پر کننده در فرکانس های مختلف.

شکل (۱۸-۵) : منحنی های مدول ذخیره ای کامپوزیت های PP/PA6/PP-g-MA/Filler	بر حسب فرکانس الف) نانولوله های کربنی و ب(دوده در دمای C ۲۳۵ °	۹۰
شکل (۱۹-۵) مقایسه مدول ذخیره ای کامپوزیت ها بر حسب مقدار پر کننده در فرکانس های مختلف،		
الف) ۰.۱۲۷ HZ ب) ۱.۲ HZ ج) ۲۰۰ HZ	۹۱	
شکل (۲۰-۵) : منحنی های مدول اتلافی کامپوزیت های PP/PA6/PP-g-MA/Filler	بر حسب فرکانس الف) نانولوله های کربنی و ب(دوده در دمای C ۲۳۵ °	۹۲
شکل (۲۱-۵) مقایسه مدول اتلافی کامپوزیت ها بر حسب مقدار پر کننده در فرکانس های مختلف،		
الف) ۰.۱۲۷ HZ ب) ۱.۲ HZ ج) ۲۰۰ HZ	۹۳	

شکل (۲۲-۵) تغییرات ضریب اتلاف (G") برای کامپوزیت های پر شده با نانولوله های کربنی بر حسب فرکانس در دمای C ۲۳۵ °	۹۴	
شکل (۲۳-۵) : تغییرات ضریب اتلاف (G") برای کامپوزیت های پر شده با دوده بر حسب فرکانس در دمای C ۲۳۵ °	۹۵	
شکل (۲۴-۵) : مقایسه ضریب اتلاف تغییرات ضریب اتلاف (G") کامپوزیت ها بر حسب مقدار پر کننده در فرکانس های مختلف ، الف) ۰.۱۲۷ HZ ب) ۱.۲ HZ ج) ۲۰۰ HZ	۹۶	
شکل (۲۵-۵) : منحنی مدول ذخیره ای کامپوزیت های PP/PA6/PP-g-MA/CNT بر حسب دما، حاصل از آزمون DMTA.	۹۷	
شکل (۲۶-۵) : منحنی مدول ذخیره ای کامپوزیت های PP/PA6/PP-g-MA/CB بر حسب دما، حاصل از آزمون DMTA.	۹۸	
شکل (۲۷-۵) : منحنی های مدول نسبی کامپوزیت ها بر حسب مقدار پر کننده در دمای (الف) ۵۰۰C و (ب) ۲۰۰C .	۱۰۰	
شکل (۲۸-۵) : منحنی های تغییرات tanδ کامپوزیت ها بر حسب ها (الف) نانولوله های کربنی و (ب) دوده	۱۰۱	

فهرست جداول

صفحه	عنوان
٩	جدول (١-١) : خواص تئوری و آزمایشگاهی نانولوله‌های کربنی [١٩]
١٢	جدول (٢-١) : ترکیب شیمیایی چندگونه رایج از دوده و نحوه تولید آنها [٢٦]
١٣	جدول (٣-١) : مشخصات برخی گونه‌های رایج دوده [٢٨]
٢٣	جدول (١-٢) : ترکیبات، خواص و کاربردهای دو نوع پلیپروپیلن [٣١]
٣٥	جدول (١-٣) : خواص مکانیکی آمیزه‌های PP/PA6 [٤٤]
٤٤	جدول (٢-٣) : مشخصات ماتریس PA6 و نانوکامپوزیت‌های PA6/MWCNT [٥١]
٥١	جدول (٣-٣) : داده‌های کشش سطحی اجزاء کامپوزیتی PA6/PP/MWTS
٥٤	جدول (١-٤) : مشخصات پلیپروپیلن
٥٥	جدول (٢-٤) : مشخصات پلی‌آمید ٦
٥٥	جدول (٣-٤) : مشخصات پلیپروپیلن گرفت شده با مالئیک ایندیرید
٥٦	جدول (٤-٤) : مشخصات دوده مورد استفاده
٧٤	جدول (١-٥) : مقدار مقاومت الکتریکی کامپوزیت‌ها در ولتاژ ٢٨ ولت
٨٠	جدول (٢-٥) : اطلاعات مربوط به منحنی DSC کامپوزیت‌های PP/PA6/PP-g-MA/CNT
٨٢	جدول (٣-٥) : اطلاعات مربوط به منحنی DSC کامپوزیت‌های PP/PA6/PP-g-MA/CB
١٠٢	جدول (٤-٥) : مقدار دمای انقال شیشه‌ای برای نمونه‌ها (بر اساس DMTA)

چکیده

در این تحقیق، کامپوزیت‌های پلی‌آمید ۶/ پلی‌پروپیلن به نسبت ۷۵.۲۵ در حضور سازگار کننده‌ی پلی‌پروپیلن گرفت شده با مالئیک انیدرید (PP-g-MA) به روش اختلاط مذاب تهیه شده و تأثیر افزوده شدن دو نوع تقویت کننده، نانو لوله‌های کربنی چند دیواره (MWCNT) و دوده (CB) روی آنها بررسی شده است. دوده استفاده شده در این پژوهش نوع خاصی از دوده با سطح ویژه بسیار بالا می‌باشد. برای این منظور برای تقویت کننده‌ها سه مقدار مختلف ۲ و ۴ و ۶ قسمت در هر صد قسمت آمیزه (phr) در نظر گرفته شده است. آزمون‌های انجام شده شامل DSC، SEM، DMTA، رئولوژی و مقاومت الکتریکی می‌باشد از نتایج DSC مشخص شد که با افزوده شدن نانو لوله‌های کربنی و دوده به آمیزه‌ی PP/PA6/PP-g-MA (۷۰/۲۵/۵) مقدار درجه تبلور افزایش یافت. همچنین با مشاهده نتایج آزمون رئومتری به این نتیجه رسیدیم که افزودن پرکننده‌ها مقادیر ویسکوزیته‌ی مختلط، مدول ذخیره‌ای و مدول اتلاف را افزایش می‌دهد. براساس آزمون DMTA نیز مشخص شد که افزوده شدن پرکننده‌ها به مقدار ۲ phr به آمیزه مقدار مدول ذخیره‌ای را افزایش می‌دهد. نتایج نشان داد که میزان افزایش در خواص مکانیکی و رئولوژیکی در خصوص آمیزه‌های پر شده با دوده، بیشتر از آمیزه‌های پر شده با نانولوله کربنی می‌باشد که مربوط به سطح تماس بالای این نوع دوده و بر همکنش بهتر دوده با پلیمر می‌باشد. با استفاده از آزمون مقاومت الکتریکی نانوکامپوزیت‌ها، آستانه‌ی نزدیک نفوذ الکتریکی نانو کامپوزیت‌های پر شده با نانولوله‌های کربنی بیشتر از ۶ phr و برای نانوکامپوزیت‌های پر شده با دوده در ۶ phr مشاهده شد.

واژه‌های کلیدی : پلی‌پروپیلن، پلی‌آمید ۶، نانولوله‌های کربنی، دوده، نانوکامپوزیت

مقدمه :

پلی‌پروپیلن جزء چهار پلیمر پرمصرف جهان است و دارای موازنی خوبی از خواص مورد توجه، برای استفاده در صنایع مختلف است. از جمله کاربردهای مهم آن در صنایع

خودروسازی است. مخلوط کردن پلیپروپیلن با ترمومولکولی های مهندسی راه مفیدی برای افزایش خواص پلیپروپیلن میباشد [۱].

آمیزه های PP/PA جاذبه ای تجاری مهمی به خاطر تعادل خوب خواص دارند. پلیپروپیلن رفتار مقاومتی عالی در برابر رطوبت، دانسیته پایین ، قیمت پایین و فرآیند پذیری خوب [۲] داشته، ولی مقاومت ضعیفی در برابر اکسیژن دارد [۳]. پلیآمیدها مقاومت ضعیف در برابر رطوبت [۱و۴] داشته اما نفوذ پذیری بسیار بالا نسبت به اکسیژن [۳] و خواص مکانیکی [۴] و حرارتی [۵] خوبی دارند.

پلیپروپیلن و پلیآمیدها دو دسته مهم از ترمومولکولی ها هستند و مخلوط کردن آنها با هم نقاط ضعفشن را میپوشاند و باعث بهبود خواص میشود [۶].

اخیراً نانو کامپوزیت های پلیمری ۳تابی، ترکیب آمیزه های پلیمر با نانولوله های کربنی، توجهات زیادی به خاطر برخی ساختار های ویژه و کارایی به خود جلب کردند. آمیزه های پلیپروپیلن / پلیآمید اغلب توسط افزودن پرکننده های مختلف، اصلاح شده تا خواص رضایت بخشی حاصل شود.

برای مثال خواص مکانیکی و اشتغال پذیری آمیزه های پلیآمید^۶ / پلیپروپیلن میتوانند با ترکیب خاک رس آلی دوست افزایش یابند و به خاطر ساختار ویژه و خواص مکانیکی نانولوله های کربنی ، امید آن است که خواص مطلوب با ترکیب نانولوله های کربنی به آمیزه های پلیپروپیلن / پلیآمید حاصل شود[۷]. دوده نیز از نظر صنعتی و تجاری یکی از مهمترین مواد کربنی در دسترس است که خواص عالی مانند مقاومت حرارتی، شیمیایی و رطوبتی، وزن کم، هدایت الکتریکی و نیز انبساط حرارتی پایین دارد [۸].

علاوه بر این دو پلیمر پلیپروپیلن و پلیآمید^۶ از نظر ترمودینامیکی امتزاج ناپذیر میباشند، چون پلیپروپیلن یک پلیمر غیر قطبی بوده، در حالی که پلیآمید^۶ یک پلیمر قطبی میباشد. امتزاج پذیری^۱، واژه ای نظری و ترمودینامیکی است.

وقتی این واژه بکار میرود که پلیمراها تا سطح اندازه هی مولکولی بتوانند با یکدیگر مخلوط شوند و کنار هم قرار گرفتن، دو فاز متفاوت به وجود نیاید و وقتی دو پلیمر از نظر ترمودینامیکی امتزاج ناپذیر باشند، مخلوط آنها دو فازی یا چند فازی خواهد شد. در این صورت یکی از پلیمراها در دیگری غوطetur میشود، سطح مشترک بین دو پلیمر ضعیف

^۱. miscibility

می‌شود و نمی‌تواند تنش‌های اعمال شده را تحمل نماید. برای حل این مشکل، از ماده دیگری استفاده می‌شود و یا هنگام مخلوط کردن واکنشی انجام می‌شود تا ماده‌ی سومی به وجود بیاید. اگر چنین کاری موجب بهبود خواص شود، به ماده‌ی سوم سازگار کننده^۱ اطلاق می‌شود. گاهی سازگار کننده موجب امتزاج پذیری ترمودینامیکی می‌شود. بیشتر اوقات سازگار کننده به صورت یک سطح فعال عمل می‌کند و موجب کاهش اندازه فاز ذرات متفرق در محیط دیگر پلیمر می‌شود [۹].

در این مطالعه ، به آمیزه‌های پلیپروپیلن / پلی آمید^۶ . سازگار کننده‌ی پلیپروپیلن گرفت شده با مالئیک اندیرید اضافه شده و تأثیر افزوده شدن پر کننده نانولوله‌های کربنی بر خواص فیزیکی و مورفولوژیکی آلیاژ‌های PP/PA6 با درصد پایین PA6 می‌باشد. همچنین نقش نانولوله‌های کربنی با سایر نانو ذرات کربنی مثل دوده نیز مورد بررسی قرار می‌گیرد. برای این منظور از دوده خالص که دارای سطح ویژه‌ی بسیار بالایی بوده و هدایت الکتریکی بسیار زیادی دارد استفاده شده است.

در فصل‌های اول و دوم به بررسی و معرفی پرکننده‌ها و پلیمرها پرداخته شده است. مرور بر تحقیقات انجام شده توسط محققین پیشین ، موضوع فصل سوم می‌باشد و در فصل چهارم مواد و تجهیزات استفاده شده در این تحقیق معرفی می‌شود. در فصل پنجم به بررسی نتایج حاصل از آزمایش‌های SEM، DSC، DMTA، رئومتری و مقاومت الکتریکی پرداخته خواهد شد و در پایان نتایج و پیشنهادات در قالب فصل ششم ارائه شده‌اند.

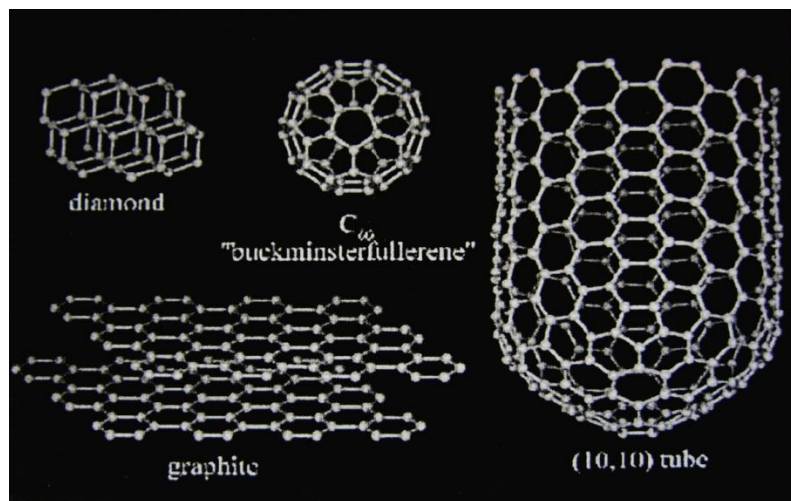
^۱.compatibilizer

فصل ۱:

پرکننده ها

۱-۱- نانو لوله‌های کربنی

کربن دارای گونه‌های متفاوتی است که ساختارهای برشی از آنها در شکل ۱-۱ نشان داده شده است. هرگونه از کربن، کاربردهای خاص خود را دارد؛ به عنوان مثال الماس ماده بسیار سختی است و برای بریدن مواد دیگر بکار می‌رود در صورتی که گرافیت در روانسازی کاربرد دارد.



شکل (۱-۱) برشی ساختار کربن

فولرین (باکی بال) و نانو لوله‌ی کربنی، گونه‌های جدیدی از کربن هستند که ساختار متفاوتی با گرافیت، الماس و دوده دارند. فولرین به صورت پودر جامد سیاه رنگ است و از مولکول‌های کروی تشکیل شده که تنها به وسیله نیروهای واندروالس در کنار یکدیگر قرار گرفته‌اند.

با توجه به باندهای ضعیف بین مولکولی، این پودر در بسیاری از حلال‌های آلی قابل حل شدن است. به عنوان مثال، C₆₀ که از معروفترین فولرین‌هاست، در بنزین و تولوئن حل شده و محلولی با رنگ بنفش تیره ایجاد می‌کند.

۱-۲- تاریخچه

در سال ۱۹۹۱، زمانی که ایجیما [۱۰]، محقق ژاپنی، در حال مطالعه با میکروسکوپ الکترونی بر روی محصولات تولید شد، فولرین به روش تخلیه الکتریکی بین دو قطب گرافیتی بود، متوجه نوع جدیدی از فولرین با ساختار کشیده و بلند (لوله مانند) شد که نانولوله‌های کربنی نام گرفتند. این نانولوله‌ها، از جنس صفحات گرافیتی بودند. کشف این ساختار جدید یعنی نانولوله‌های کربنی چند دیواره، در مجله Nature در سال ۱۹۹۱ گزارش شد [۱۰]. نانولوله‌های کربنی در واقع فولرین‌های کشیده شده و به شکل لوله‌های نانومتری از جنس کربن و با ساختار گرافیتی می‌باشند. به علت خواص فیزیکی و شیمیایی فوق العاده ای که این مواد از خود نشان داده‌اند توجه بسیاری از دانشمندان علوم مختلف از جمله فیزیک، شیمی، الکترونیک، مکانیک، علوم فضایی و ... را به خود جلب کرده و تحقیقات وسیعی روی آنها در حال انجام بوده و کاربردهای بالقوه و بالفعل متعددی پیدا کرده‌اند.

۱-۲-۱- انواع نانولوله‌های کربنی

نانولوله‌های کربنی به دو دسته نانولوله‌های کربنی تک دیواره^۱ و چند دیواره^۲ تقسیم می‌شوند که در شکل ۱-۲ هر دو ساختار نمایش داده شده است.

نانولوله‌های کربنی تک دیواره، دارای یک دیواره استوانه‌ای گرانیتی با قطری در حد ۱-2nm می‌باشند و نانولوله‌های کربنی چند دیواره شامل چندین استوانه‌ی گرافیتی هم محور هستند که با فاصله‌ای برابر با 0.34nm فاصله بین لایه‌های گرافیت، از هم قرار گرفته‌اند [۱۱].

قطر خارجی نانولوله‌های چند دیواره بین ۵۰nm - ۲.۵ در قطر داخلی آنها نیز بین - ۱.۵ - 15nm متغیر است [۱۲].

^۱. Sing wall carbon nano tubes (SWCNT)

^۲. multiwall carbon nano tubes (MWCNT)



شکل (۲-۱) : دو ساختار نانولوله‌های کربنی

۲-۲-۱- خصوصیات فیزیک و شیمیایی نانولوله‌های کربنی

۱-۲-۲- خواص الکتریکی

از دیدگاه تئوری بالوله کردن ورقه‌های گرافیت می‌توان نانولوله‌های کربنی را شکل داد. در گرافیت در صفحه xy سه اتم کربن به یکدیگر با زاویه 120° درجه متصل شده‌اند در حالی که یک پیوند ضعیف II در محور z موجود است، از سوی دیگر اوربیتال PZ حامل برهمکنش و اندوالس می‌باشد. الکترون آزاد موجود در اربیتال PZ به راحتی در ابر الکترونی حرکت کرده به نحوی که به یک اتم مشخص مرتبط نخواهد بود. همین پدیده است که باعث شده گرافیت و نانولوله کربنی توانایی هدایت الکتریکی را داشته باشند. نانولوله‌های تک دیواره با ساختار دسته صندلی، دارای خواص فلزی هستند و حدود یک سوم نانولوله‌ها با ساختار زیگزاگ و کایرال دارای رفتار غیر فلزی و بقیه نیمه‌هادی هستند [۱۳]. زمانی که یک میدان مغناطیسی به موازات محور نانولوله‌ها بر آنها اعمال می‌شود، فاصله پیوندتها با افزایش میدان، تحریک شده و نانولوله‌های فلزی، نیمه‌هادی می‌شوند. اگر شدت میدان مغناطیسی به صورت تناوبی تغییر کند، این نانولوله‌ها متناوباً فلزی و نیمه‌هادی می‌شوند [۱۴].

۱-۲-۲- خواص نوری

نانولوله‌های کربنی، خواص نوری غیر خطی دارند که بستگی زیادی به قطر و همسانی لوله‌ها دارد. البته لایه‌ای از نانولوله‌های عمودی از نظر نوری یکسان هستند. در صورتی که خواص نوری لایه‌های موازی بستگی شدیدی به موازی یا عمود بودن نور پلاریزه شده دارد [۱۳].

۱-۲-۳- خواص مکانیکی

غیر از خواص فوق العاده الکتریکی، رفتار مکانیکی نانولوله‌های کربنی نیز قابل توجه است. به طوری که همانند الیاف کربنی می‌توانند در تکنولوژی ساخت کامپوزیت‌های پیشرفته به عنوان تقویت کننده به کار روند نانولوله‌های کربنی خواص مطلوب زیادی از خود نشان می‌دهند که ناشی از انعطاف پذیری، استحکام بالا، توانایی مقاومت در جابجایی‌های عرضی و پیچشی، قابلیت کش آمدن و مقاومت فشاری بدون شکستن می‌باشد [۱۵].

مطالعات تئوری در ابتدای کشف این مواد [۱۶] و نیز آزمایشات تجربی در سال‌های اخیر [۱۷] بر روی نانولوله‌های کربنی (اغلب چند دیواره) نشان داده شده است که این نانوذرات یکی از سختترین موادی هستند که تاکنون ساخته شده‌اند. علت این مسئله نیز ناشی از پیوندهای کووالانسی کربن – کربن، که دارای طبیعت بسیار محکمی هستند و ساختار منظم از پیوندهای مرتب شده در راستای محور نانولوله‌های کربنی می‌باشد.

۱-۲-۴- هدایت حرارتی

هدایت حرارتی (K) برای نانولوله‌های کربنی چند دیواره در بازه دمایی ۴ تا ۳۰۰ درجه کلوین اندازه گیری شده است و مشخص شده است که با توان دوم درجه حرارت (T^2) تغییر می‌کند. این اندازه گیری برای نانولوله‌های تک دیواره نیز در گستره دمایی ۸ تا ۳۵۰ درجه کلوین انجام شده است، هدایت حرارتی در دمای پایین‌تر از 200°C با کاهش دما کاهش پیدا می‌کند. به عبارت دیگر در دمای پایین‌تر از 200°C رابطه هدایت حرارتی و دمایی یک رابطه خطی است [۱۸].

در جدول ۱-۱ خواص فیزیکی و مکانیکی نانولوله‌های کربنی ارائه شده است.